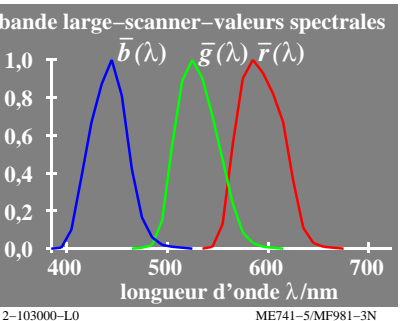
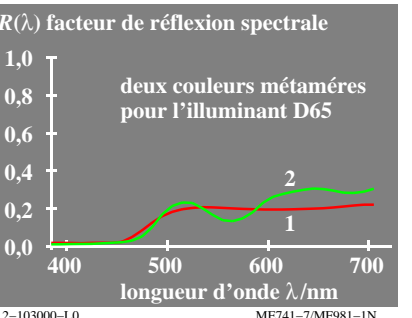
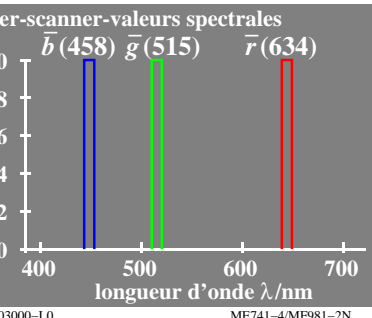




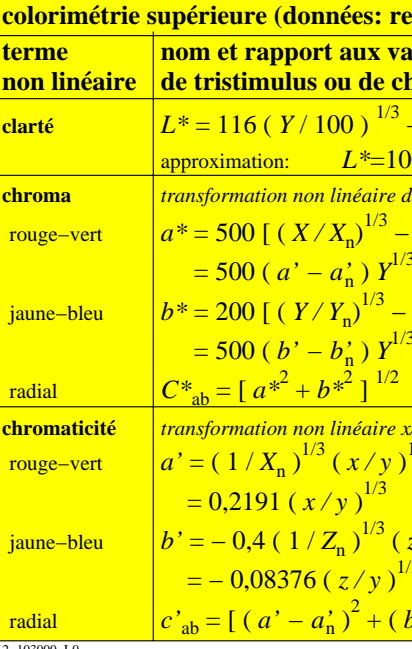
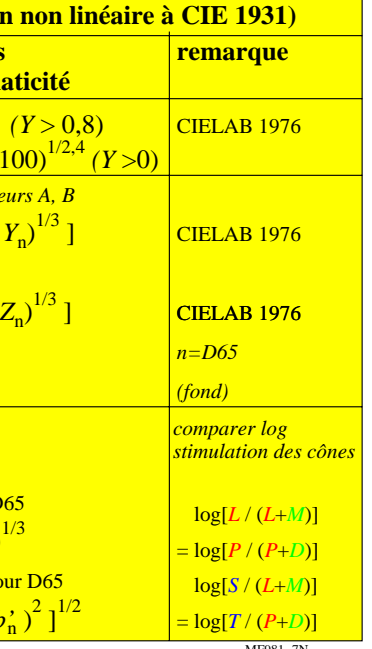
TUB enregistrement: 20190801-MF98/MF98L
application pour la mesure de sortie sur écran

TUB matériel: code=rha4ta

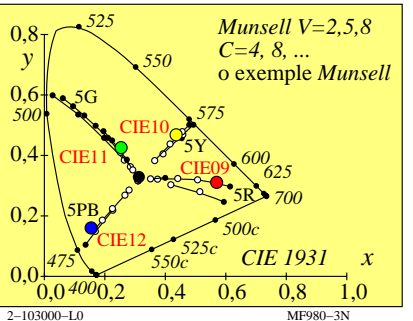
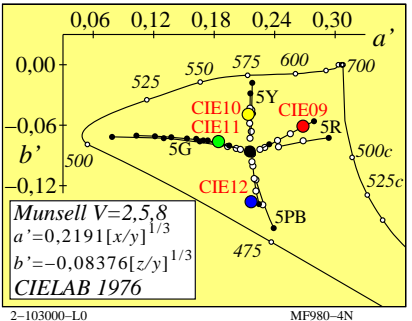


| indice de fidélité de couleur R_i de deux couleur métamères pour scanner | | | |
|--|----|--------------------|-----------------------|
| | TC | indice de fidélité | difference de couleur |
| large bande | 1 | 82 | 3 |
| | 2 | 84 | |
| petit | 1 | 63 | 10 |
| | 2 | 69 | |
| égal | 1 | 100 | 0 |
| | 2 | 100 | |

5, adjustment pour papier blanc

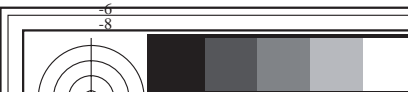


| s aticité | remarque |
|---------------------------------------|--|
| $(Y > 0,8)$ $100^{1/2,4} (Y > 0)$ | CIELAB 1976 |
| $\text{eurs } A, B$ $Y_n)^{1/3}$] | CIELAB 1976 |
| $Z_n)^{1/3}$] | CIELAB 1976 $n=D65$ (fond) |
| 965 $1/3$ | comparer log stimulation des cônes |
| ur D65 Y_n^2] $^{1/2}$ | $\log [L / (L+M)]$ $= \log [P / (P+D)]$ $\log [S / (L+M)]$ $= \log [T / (P+D)]$ |



| colorimétrie inférieure: (données: relation linéaire à CIE 1931) | | |
|--|---|--|
| term linéaire des couleurs | nom et rapport aux valeurs de tristimulus ou de chromaticité | remarques |
| valeurs de tristimulus | X, Y, Z | |
| val. chromatique rouge-vert | $A = [X / Y - X_n / Y_n] Y = [a - a_n] Y$ $= [x / y - x_n / y_n] Y$ | $n=D65$ <i>(fond)</i> |
| jaune-bleu | $B = -0,4 [Z/Y - Z_n/Y_n] Y = [b - b_n] Y$ $= -0,4 [z / y - z_n / y_n] Y$ | |
| radial | $C_{AB} = [A^2 + B^2]^{1/2}$ | |
| chromaticité rouge-vert | $diagramme chromatique linéaire (A,B)$ $a = X / Y = x / y$ | $comparer stimulation des cônes linéaires$ |
| jaune-bleu | $b = -0,4 [Z / Y] = -0,4 [z / y]$ | $L/(L+M)=P/(P+D)$ |
| radial | $c_{ab} = [(a - a_n)^2 + (b - b_n)^2]^{1/2}$ | $S/(L+M)=T/(P+D)$ |

MF980-7/N



voir fichiers similaires:

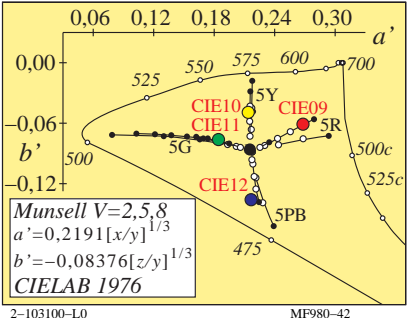
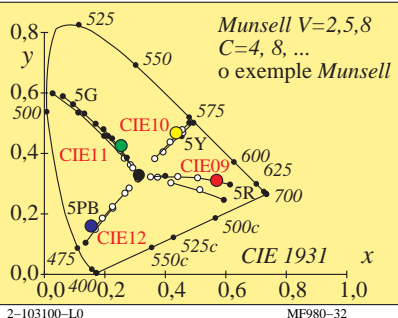
<http://farbe.li.tu-berlin.de/MF98/MF98.HTM>



| attributs de la colorimétrie inférieur et supérieur | mode de mélange de couleurs dichromatique | mode de mélange de couleurs trichromatique |
|---|---|--|
| colorimétrie inférieure | | |
| valeur blanche W | (pour $Y_{dd} \geq B_{dd}$) B_{dd} | (pur $R_{dd} \geq G_{dd} \geq B_{dd}$) B_{dd} |
| valeur noire N | $100 - Y_{dd}$ | $100 - R_{dd}$ |
| valeur chromatique C | $Y_{dd} - B_{dd}$ | $R_{dd} - B_{dd}$ |
| colorimétrie supérieure | | |
| blancheur W^* | (pour $Y_{*dd} \geq B_{*dd}$) B_{*dd} | (pour $R_{*dd} \geq G_{*dd} \geq B_{*dd}$) B_{*dd} |
| noircœur N^* | $100 - Y_{*dd}$ | $100 - R_{*dd}$ |
| chroma C^* | $Y_{*dd} - B_{*dd}$ | $R_{*dd} - B_{*dd}$ |

2-103100-L0

MF980-12



2-103100-L0

MF980-42

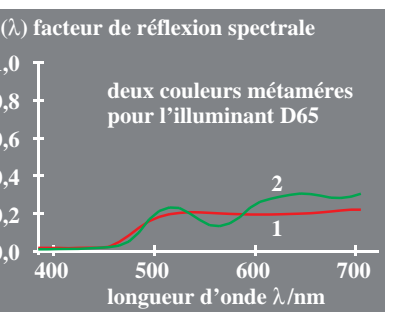
colorimétrie inférieure: (données: relation linéaire à CIE 1931)

| term linéaire des couleurs | nom et rapport aux valeurs de tristimulus ou de chromatique | remarques |
|-----------------------------|--|--|
| valeurs de tristimulus | X, Y, Z | |
| val. chromatique rouge-vert | diagramme valeur chromatique linéaire (A, B) $A = [X/Y - X_n/Y_n] Y = [a - a_n] Y$ $= [x/y - x_n/y_n] Y$ | $n=D65$ (fond) |
| jaune-bleu | $B = -0.4 [Z/Y - Z_n/Y_n] Y = [b - b_n] Y$ $= -0.4 [z/y - z_n/y_n] Y$ | |
| radial | $C_{AB} = [A^2 + B^2]^{1/2}$ | |
| chromaticité rouge-vert | diagramme chromatique linéair (a, b) $a = X/Y = x/y$ | comparer stimulation des cônes linéaires |
| jaune-bleu | $b = -0.4 [Z/Y] = -0.4 [z/y]$ | |
| radial | $c_{ab} = [(a - a_n)^2 + (b - b_n)^2]^{1/2}$ | |

2-103100-L0

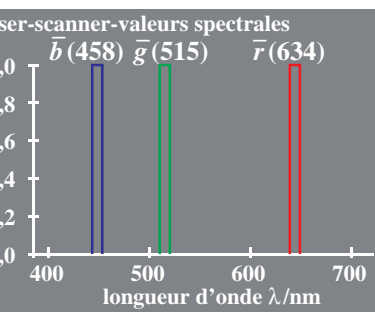
MF980-72

Graphique TUB-MF98; les infographies et colorimétrie Collection d'image MF98, 3D=1, de=0, $L-cmyn6^*$



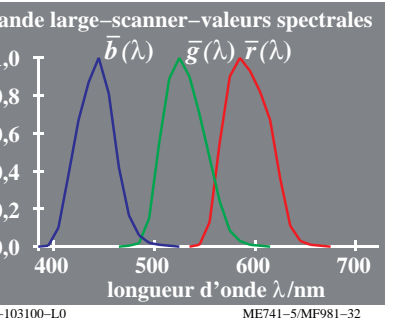
2-103100-L0

ME741-7/MF981-12



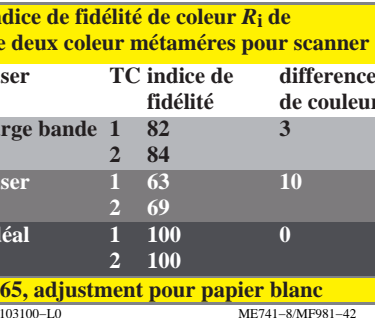
2-103100-L0

ME741-4/MF981-22



2-103100-L0

ME741-5/MF981-32



2-103100-L0

ME741-8/MF981-42

colorimétrie supérieure (données: relation non linéaire à CIE 1931)

| terme non linéaire | nom et rapport aux valeurs de tristimulus ou de chromatique | remarque |
|-------------------------|--|--|
| clarté | $L^* = 116 (Y/100)^{1/3} - 16 (Y > 0,8)$ approximation: $L^* = 100 (Y/100)^{1/2,4} (Y > 0)$ | CIELAB 1976 |
| chroma rouge-vert | transformation non linéaire des valeurs A, B $a^* = 500 [(X/X_n)^{1/3} - (Y/Y_n)^{1/3}]$ $= 500 (a - a_n) Y^{1/3}$ | CIELAB 1976 |
| jaune-bleu | $b^* = 200 [(Y/Y_n)^{1/3} - (Z/Z_n)^{1/3}]$ $= 500 (b - b_n) Y^{1/3}$ | CIELAB 1976 |
| radial | $C_{ab}^* = [a^* + b^*]^2$ | $n=D65$ (fond) |
| chromaticité rouge-vert | transformation non linéaire x/y, z/y $a' = (1/X_n)^{1/3} (x/y)^{1/3}$ $= 0,2191 (x/y)^{1/3}$ pour D65 | comparer log stimulation des cônes |
| jaune-bleu | $b' = -0,4 (1/Z_n)^{1/3} (z/y)^{1/3}$ $= -0,08376 (z/y)^{1/3}$ pour D65 | $\log[L/(L+M)]$ $= \log[P/(P+D)]$ $\log[S/(S+M)]$ $= \log[T/(P+D)]$ |
| radial | $c'_{ab} = [(a' - a'_n)^2 + (b' - b'_n)^2]^{1/2}$ | |

2-103100-L0

ME741-72

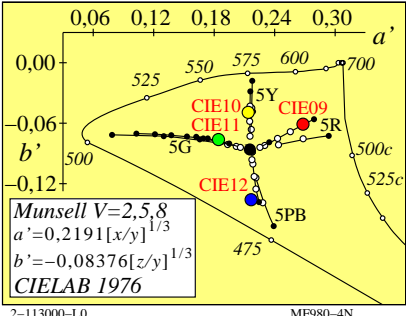
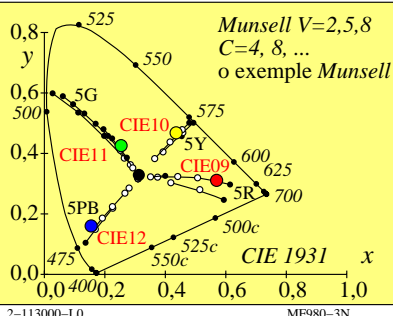
PE4300L_120830.TXT, 1080 colors, Separation cmyn6*
entrée : $rgb/cmky \rightarrow rgbd_{dd}$
sortie : linéarisation 3D selon rgb^*_{dd}



| attributs de la colorimétrie inférieur et supérieur | mode de mélange de couleurs dichromatique | mode de mélange de couleurs trichromatique |
|---|---|--|
| colorimétrie inférieure | | |
| valeur blanche W | (pour $Y_- \geq B_-$) B_- | (pur $R_- \geq G_- \geq B_-$) B_- |
| valeur noire N | $100 - Y_-$ | $100 - R_-$ |
| valeur chromatique C | $Y_- - B_-$ | $R_- - B_-$ |
| colorimétrie supérieure | | |
| blancheur W^* | (pour $Y^*_- \geq B^*_-$) B^*_- | (pour $R^*_- \geq G^*_- \geq B^*_-$) B^*_- |
| noircœur N^* | $100 - Y^*_-$ | $100 - R^*_-$ |
| chroma C^* | $Y^*_- - B^*_-$ | $R^*_- - B^*_-$ |

2-113000-L0

MF980-1N



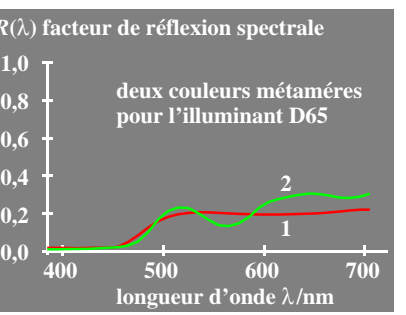
colorimétrie inférieure: (données: relation linéaire à CIE 1931)

| term linéaire des couleurs | nom et rapport aux valeurs de tristimulus ou de chromatique | remarques |
|-----------------------------|--|--|
| valeurs de tristimulus | X, Y, Z | |
| val. chromatique rouge-vert | diagramme valeur chromatique linéaire (A, B) $A = [X/Y - X_n/Y_n] Y = [a - a_n] Y$ $= [x/y - x_n/y_n] Y$ | $n=D65$ (fond) |
| jaune-bleu | $B = -0,4 [Z/Y - Z_n/Y_n] Y = [b - b_n] Y$ $= -0,4 [z/y - z_n/y_n] Y$ | |
| radial | $C_{AB} = [A^2 + B^2]^{1/2}$ | |
| chromaticité rouge-vert | diagramme chromaticité linéair (a, b) $a = X/Y = x/y$ | comparer stimulation des cônes linéaires |
| jaune-bleu | $b = -0,4 [Z/Y] = -0,4 [z/y]$ | |
| radial | $c_{ab} = [(a - a_n)^2 + (b - b_n)^2]^{1/2}$ | |

2-113000-L0

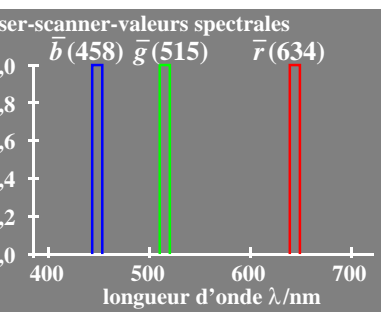
MF980-7N

Graphique TUB-MF98; les infographies et colorimétrie
 Collection d'image MF98, 3D=1, de=1



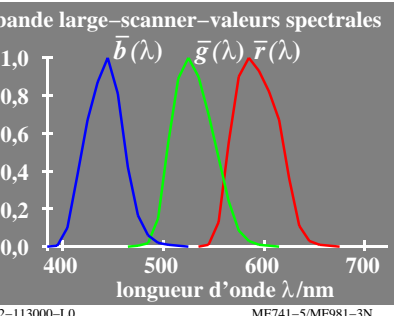
2-113000-L0

ME741-7/MF981-1N



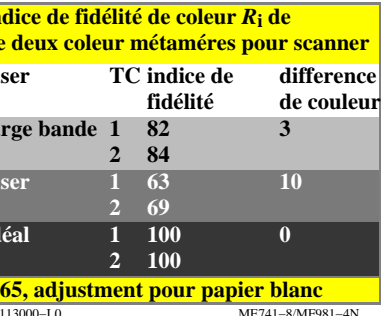
2-113000-L0

ME741-4/MF981-2N



2-113000-L0

ME741-5/MF981-3N



2-113000-L0

ME741-8/MF981-4N

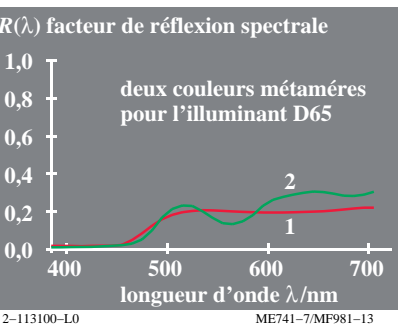
colorimétrie supérieure (données: relation non linéaire à CIE 1931)

| terme non linéaire | nom et rapport aux valeurs de tristimulus ou de chromatique | remarque |
|-------------------------|--|--|
| clarté | $L^* = 116 (\frac{Y}{100})^{1/3} - 16 \quad (Y > 0,8)$ approximation: $L^* = 100 (Y/100)^{1/2,4} \quad (Y > 0)$ | CIELAB 1976 |
| chroma rouge-vert | transformation non linéaire des valeurs A, B $a^* = 500 [(\frac{X}{X_n})^{1/3} - (\frac{Y}{Y_n})^{1/3}]$ $= 500 (a - a_n) Y^{1/3}$ | CIELAB 1976 |
| jaune-bleu | $b^* = 200 [(\frac{Y}{Y_n})^{1/3} - (\frac{Z}{Z_n})^{1/3}]$ $= 500 (b - b_n) Y^{1/3}$ | CIELAB 1976 |
| radial | $C_{ab}^* = [(a^*)^2 + (b^*)^2]^{1/2}$ | $n=D65$ (fond) |
| chromaticité rouge-vert | transformation non linéaire x/y, z/y $a' = (\frac{1}{X_n})^{1/3} (\frac{x}{y})^{1/3}$ $= 0,2191 (\frac{x}{y})^{1/3}$ pour D65 | comparer log stimulation des cônes |
| jaune-bleu | $b' = -0,4 (\frac{1}{Z_n})^{1/3} (\frac{z}{y})^{1/3}$ $= -0,08376 (\frac{z}{y})^{1/3}$ pour D65 | $\log[\frac{L}{(L+M)}]$ $= \log[\frac{P}{(P+D)}]$ $\log[\frac{S}{(L+M)}]$ $= \log[\frac{T}{(P+D)}]$ |
| radial | $c'_{ab} = [(a')^2 + (b')^2]^{1/2}$ | |

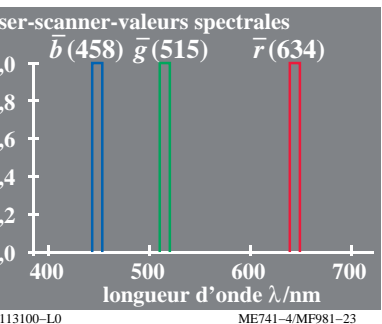
2-113000-L0

MF981-7N

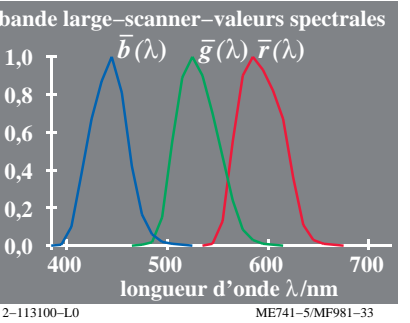
entrée : $rgb/cmyk \rightarrow rgb/cmyk$
 sortie : aucun changement



2-113100-L0 ME741-7/MF981-13



2-113100-L0 ME741-4/MF981-23



2-113100-L0 ME741-5/MF981-33

| indice de fidélité de couleur R_i de deux couleur métamères pour scanner | | |
|--|-----------------------|-----------------------|
| laser | TC indice de fidélité | différence de couleur |
| large bande | 1 82 | 3 |
| | 2 84 | |
| laser | 1 63 | 10 |
| | 2 69 | |
| idéal | 1 100 | 0 |
| | 2 100 | |

2-113100-L0 ME741-8/MF981-43

| colorimétrie supérieure (données: relation non linéaire à CIE 1931) | | |
|---|---|-------------------------------------|
| terme non linéaire | nom et rapport aux valeurs de tristimulus ou de chromaticité | remarque |
| clarté | $L^* = 116 \left(Y / 100 \right)^{1/3} - 16 \quad (Y > 0,8)$ approximation: $L^* = 100 \left(Y / 100 \right)^{1/2,4} \quad (Y > 0)$ | CIELAB 1976 |
| chroma rouge-vert | transformation non linéaire des valeurs A, B $a^* = 500 \left[\left(X / X_n \right)^{1/3} - \left(Y / Y_n \right)^{1/3} \right] = 500 \left(a - a_n \right) Y^{1/3}$ | CIELAB 1976 |
| chroma jaune-bleu | $b^* = 200 \left[\left(Y / Y_n \right)^{1/3} - \left(Z / Z_n \right)^{1/3} \right] = 500 \left(b - b_n \right) Y^{1/3}$ | CIELAB 1976 |
| chroma radial | $C_{ab}^* = \left[a^*^2 + b^*^2 \right]^{1/2}$ | $n=D65$ (fond) |
| chromaticité rouge-vert | transformation non linéaire x/y, z/y $a' = \left(1 / X_n \right)^{1/3} \left(x / y \right)^{1/3} = 0,2191 \left(x / y \right)^{1/3}$ pour D65 | comparer log stimulation des cônes |
| chromaticité jaune-bleu | $b' = -0,4 \left(1 / Z_n \right)^{1/3} \left(z / y \right)^{1/3} = -0,08376 \left(z / y \right)^{1/3}$ pour D65 | $\log[L / (L+M)] = \log[P / (P+D)]$ |
| chromaticité radial | $c'_{ab} = \left[\left(a' - a'_n \right)^2 + \left(b' - b'_n \right)^2 \right]^{1/2}$ | $\log[S / (L+M)] = \log[T / (P+D)]$ |

2-113100-L0 PE4300L_120830.TXT, 1080 colors, Separation cmyn6*

entrée : $rgb/cmky \rightarrow rgb_{de}$ sortie : linéarisation 3D selon rgb^*_{de} Graphique TUB-MF98; les infographies et colorimétrie Collection d'image MF98, 3D=1, de=1, $L-cmyn6^*$